

# Науки о Земле

УДК 549.07

DOI: 10.21209/2227-9245-2019-25-7-6-17

## ОСОБЕННОСТИ ПЛАВЛЕНИЯ ФАЗ В СЕЧЕНИИ ДИОПСИД – КАЛЬЦИЕВАЯ МОЛЕКУЛА ЭСКОЛА В ИНТЕРВАЛЕ ДАВЛЕНИЙ 1 КГС/СМ<sup>2</sup> – 20 КБАР

## MELTING FEATURES OF PHASES IN THE DIOPSIDE – CALCIUM MOLECULE OF ESCOLA SECTION IN THE PRESSURE RANGE 1 KGS/SM<sup>2</sup> – 20 KBAR



**С. В. Банушкина,**

Институт геологии и минералогии  
им. В. С. Соболева СО РАН,  
г. Новосибирск  
[banushkinasv@igm.nsc.ru](mailto:banushkinasv@igm.nsc.ru)

**Н. В. Сурков,**

Институт геологии и минералогии  
им. В. С. Соболева СО РАН,  
г. Новосибирск  
[diagrams@igm.nsc.ru](mailto:diagrams@igm.nsc.ru)

**З. Ф. Голицына,**

Институт геологии и минералогии  
им. В. С. Соболева СО РАН,  
г. Новосибирск  
[zoe.zhurko@gmail.com](mailto:zoe.zhurko@gmail.com)

**S. Banushkina,**

Institute of Geology and Mineralogy named  
after V.S. Sobolev, SB RAS, Novosibirsk

**N. Surkov,**

Institute of Geology and Mineralogy named  
after V. S. Sobolev, SB RAS, Novosibirsk

**Z. Golitsyna,**

Institute of Geology and Mineralogy named  
after V.S. Sobolev, SB RAS, Novosibirsk

**С**техиометрические миналы – основные компоненты природных клинопироксенов. Предполагалось, что обнаруженный в результатах ряда исследований избыточный кремнезём в клинопироксene растворяется в виде минала «кальциевой молекулы Эскола»  $\text{Ca}_{0.5}\text{AlSi}_2\text{O}_6$  (CaEs). В связи с предположением о возможности использования CaEs в качестве индикатора давления, предпринимались попытки определить зависимость состава нестехиометрических клинопироксенов от (p, t°)-параметров.

Однако в последующих экспериментальных работах при давлениях 20...30 кбар показано отсутствие нестехиометричности клинопироксенов и усложнённое строение фазовой диаграммы сечения диопсид  $\text{CaMgSi}_2\text{O}_6$  (Di) – кальциевая молекула Эскола  $\text{Ca}_{0.5}\text{AlSi}_2\text{O}_6$  (CaEs). В исследованиях при атмосферном давлении также признано ошибочным существование хадеитоподобного минала CaEs. Установлено, что в исследуемом сечении при данных условиях существует фаза  $\alpha$ -диопсид ( $\alpha$ Di), близкая по составу к диопсиду, однако лишенная глинозёма, и которая не относится к твёрдым растворам клинопироксенов диопсидового ряда. Благодаря наличию  $\alpha$ Di в сечении наблюдается появление дополнительной эвтектики.

В связи с этим проведено экспериментальное исследование фазовых взаимоотношений в сечении диопсид  $\text{CaMgSi}_2\text{O}_6$  (Di) – кальциевая молекула Эскола  $\text{Ca}_{0.5}\text{AlSi}_2\text{O}_6$  (CaEs) при 10...15 кбар, и построена фазовая диаграмма в интервале давлений 1 кгс/см<sup>2</sup> – 20 кбар. Фаза  $\alpha$ -диопсид обнаружена. В солидусе сосуществуют фазы An, Qtz, Cpx,  $\alpha$ Di. В диопсидовой части сечения при 10 кбар наблюдается поле твёрдых растворов клинопироксена, которое сменяется фазовым объёмом Cpx+ $\alpha$ Di. Плавление происходит по эвтектической реакции An+Cpx+ $\alpha$ Di+Qtz=L при температурах 1200...1210 °C. Полученный эвтектический тренд хорошо согласуется с ранее известными данными. Составы сосуществующих фаз соответствуют стехиометрии

**Ключевые слова:** фазовая диаграмма; минал; нестехиометрические клинопироксены; кальциевая молекула Эскола;  $\alpha$ -диопсид; анализ фазовых взаимоотношений; фазовый объём; плавление; эвтектическая реакция; высокие давления; геотермобарометрия

**S**toichiometric minerals are the main components of natural clinopyroxenes. It was assumed that the excess silica found in the results of some studies in clinopyroxene dissolves as the mineral "calcium molecule of Escola"  $\text{Ca}_{0.5}\text{AlSi}_2\text{O}_6$  (CaEs). It was suggested to use the mineral CaEs as a pressure indicator. So, attempts have been made to determine the dependence of non-stoichiometric clinopyroxenes compositions on (p, t °)-parameters.

Nevertheless, the absence of clinopyroxene non-stoichiometry and complicated structure of phase diagram for the section diopside  $\text{CaMgSi}_2\text{O}_6$  (Di) – Calcium Molecule of Escola  $\text{Ca}_{0.5}\text{AlSi}_2\text{O}_6$  (CaEs) has been shown in the subsequent experiment works at 20–30 kbar. In studies at 1 kgs/sm<sup>2</sup> the existence of jadeite-similar mineral CaEs as incorrect has been also recognized. It has been determined that there is the phase  $\alpha$ -diopside ( $\alpha$ Di) in the investigated section. It is close in composition to diopside, does not contain alumina, and does not belong to clinopyroxene solid solution of diopside series. Besides, due to the presence of  $\alpha$ Di in this section the additional eutectic is observed.

In this regard, a study was made of phase relations in the section of diopside  $\text{CaMgSi}_2\text{O}_6$  (Di) – Calcium Molecule of Escola  $\text{Ca}_{0.5}\text{AlSi}_2\text{O}_6$  (CaEs) at pressures 10...15 kbar, and the phase diagram for 1 kgs/sm<sup>2</sup> – 20 kbar has been constructed. The phase  $\alpha$ -diopside has been found. The phases An, Qtz, Cpx,  $\alpha$ Di coexist in a solidus. In the diopside part of section at 10 kbar the clinopyroxene solid solutions field is observed. It is replaced by the phase volume Cpx+ $\alpha$ Di. The melting happens at the eutectic reaction  $\text{An}+\text{Cpx}+\alpha\text{Di}+\text{Qtz}=\text{L}$  at temperatures 1200...1210 °C. This eutectic trend well coincides with data previously known. The compositions of coexisting phases correspond to stoichiometry

**Key words:** phase diagram; mineral; non-stoichiometric clinopyroxenes; Calcium Molecule of Escola;  $\alpha$ -diopside; analysis of phase relationships; phase volume; melting; eutectic reaction; high pressures; geothermobarometry

**B**ведение. Составы твёрдых растворов клинопироксенов обычно описывают стехиометрическими минералами. Отклонения от стехиометрии было принято объяснять микроподключениями посторонних минералов или же ошибками анализа.

Идея существования жадеитоподобного минерала  $\text{Ca}_{0.5}\text{AlSi}_2\text{O}_6$  была высказана Эскулом [17]. Ранние экспериментальные работы по изучению твёрдых растворов клинопироксенов основывались на допущении устойчивости нестехиометрических минералов [18; 19; 21]. В частности, при изучении пород щёлочноземельной серии для области квартноминеральных составов не был обнаружен свободный кварц  $\text{SiO}_2$  [3; 5]. Возможность растворения избыточного кремнезёма в клинопироксene в виде минерала «кальциевая молекула Эскула»  $\text{Ca}_{0.5}\text{AlSi}_2\text{O}_6$  изучали при высоких давлениях в системах  $\text{CaMgSi}_2\text{O}_6-\text{CaAl}_2\text{SiO}_6-\text{SiO}_2$  и  $\text{CaMgSi}_2\text{O}_6-\text{NaAlSi}_2\text{O}_6-\text{CaAl}_2\text{SiO}_6-\text{SiO}_2$  [4; 6; 8; 13–15].

В последующих экспериментальных работах [9–11; 24] при давлениях 20...30 кбар показано, что глинозёмистые клинопироксены соответствуют стехиометрии, а в ассоциации появляется дополнительная фаза ( $\alpha$ -диопсид), состав которой близок к диопсиду, но с нулевым содержанием  $\text{Al}_2\text{O}_3$ . Существование  $\alpha$ -диопсида усложняет строение фазовой диаграммы исследуемого сечения появлением новой эвтектической реакции, характеризующейся более низкими (на 200 °C)

температурами плавления, чем все остальные составы в системе  $\text{CaO}-\text{MgO}-\text{Al}_2\text{O}_3-\text{SiO}_2$ . Также отмечено появление нонвариантного равновесия ( $\alpha$ Di, Cpx, An, Qtz, L, Grt) при давлении 26 кбар.

Следует обратить внимание, что неустойчивость нестехиометрических клинопироксенов при высоких давлениях логично объясняется их кристаллохимическими особенностями [1]. Компонент «кальциевая молекула Эскула» представляет собой минерал, аналогичный жадеиту. Поскольку кальций является двухвалентным катионом, то в связи с необходимостью электронейтральности структуры минерала, половина структурных позиций M1 должна быть свободна. Трудно полагать, что фаза с вакансиями в крупной структурной позиции будет устойчивой при высоких давлениях.

Исследования, проведённые при давлении 1 кгс/см<sup>2</sup>, также показали аналогичные результаты [12]: отсутствие нестехиометрических глинозёмистых клинопироксенов и наличие фазы  $\alpha$ Di.

В свете сказанного возникла задача исследовать фазовые взаимоотношения в сечении диопсид – Са-молекула Эскула в интервале давлений 1 кгс/см<sup>2</sup> – 20 кбар с целью уточнить составы существующих клинопироксенов, проверить устойчивость фазы  $\alpha$ -диопсид и проследить направление эвтектических реакций.

В статье использованы следующие обозначения: Di – диопсид, CaEs – кальций-

эсколаитовый компонент ( $\text{Ca}_{0,5}\text{AlSi}_2\text{O}_6$ ),  $\alpha\text{Di}$  –  $\alpha$ -диопсид,  $\text{Cpx}$  – глинозёмистые клинопироксены диопсидового ряда,  $\text{Qtz}$  – кварц,  $\text{An}$  – анортит,  $\text{L}$  – расплав.

*Методика экспериментальных исследований.* Исходные вещества приготовлены из прокалённых в платиновых тиглях окислов весовым методом с использованием реактивов марки Ос. Ч. Навеску брали сразу после остывания тигля до комнатной температуры. Затем смесь окислов растирали в твёрдосплавной ступке до размеров зёрен 5...10 мк и вновь прокаливали в платиновом тигле в интервале температур 1100...1550 °С,

на 20...30 °С ниже температуры плавления смеси. Каждые 10...12 ч прокаливание чередовали с растиранием вещества в твёрдосплавной ступке и продолжали до полного исчезновения исходных окислов. Компоненты, соответствующие стехиометрии  $\text{CaMgSi}_2\text{O}_6$  (диоспид) и  $\text{Ca}_{0,5}\text{AlSi}_2\text{O}_6$  (кальций-молекула Эскола), смешивали в соответствующих пропорциях и подвергали плавлению при температурах 1500...1620 °С. Образец закаливали опусканием платинового тигля в дистиллированную воду. В конечном итоге, получены прозрачные стекла (табл. 1).

Таблица 1 / Table 1

*Условия приготовления исходных веществ / Preparation conditions of the starting materials*

Номер состава / Composition number	Состав, мол. % / Composition, mol.%	Время, ч / Time, hours	Температура, °С / Temperature, °C	Результат / Result
S-123	Di	3	1606±10	стекло/glass
S-151	Di <sub>95</sub> CaEs <sub>5</sub>	3	1507±10	стекло/glass
S-152	Di <sub>90</sub> CaEs <sub>10</sub>	3	1514±10	стекло/glass
S-153	Di <sub>85</sub> CaEs <sub>15</sub>	4	1526±10	стекло/glass
S-138	Di <sub>80</sub> CaEs <sub>20</sub>	3,4	1550±10	стекло/glass
S-115	Di <sub>70</sub> CaEs <sub>30</sub>	3,4	1529±10	стекло/glass
S-114	Di <sub>50</sub> CaEs <sub>50</sub>	3	1514±10	стекло/glass
S-203	Di <sub>40</sub> CaEs <sub>60</sub>	4,6	1483±10	стекло/glass
S-120	Di <sub>30</sub> CaEs <sub>70</sub>	3,5	1546±10	стекло/glass
S-30	CaEs	3,5	1610±10	стекло/glass
S-118	Di <sub>90</sub> CaEs <sub>10</sub>	3	1520±10	стекло/glass
S-71	Di <sub>80</sub> CaEs <sub>20</sub>	3,5	1550±10	стекло/glass
S-114-1	Di <sub>50</sub> CaEs <sub>50</sub>	3	1535±10	стекло/glass
S-115-1	Di <sub>70</sub> CaEs <sub>30</sub>	3,5	1540±10	стекло/glass
S-120-1	Di <sub>30</sub> CaEs <sub>70</sub>	3,5	1540±10	стекло/glass

Эксперименты проводили на аппарате высокого давления типа «поршень-цилиндр» методом закалки [2; 16; 24]. В рабочий объём помещали нагревательное устройство, в качестве среды, передающей давление, использовали спрессованный и прокалённый  $\text{NaCl}$ . В середину трубчатого графитового нагревателя помещали платиновую ампулу с образцом [22]. Температуру контролировали с помощью высокоточного регулятора температуры ВРТ-3, который имеет устройство компенсации комнатной

температуры. Для измерения температуры использовали платина-платинородиевую термопару (Pt-PtRh10). Холодные концы термопары выводили на медные контакты. Температуру холодных концов измеряли ртутным термометром ТА-4 ГОСТ 216-73 с точностью до 0,1 °С. Измерение ЭДС термопары проводили с помощью цифрового вольтметра постоянного тока Ф-283. Интервал колебания температуры от заданного значения с учётом колебания комнатной температуры не превышал ±1 °С.

Следует отметить, что поскольку имеет место значительное термическое расширение нагревательного устройства, при выводе опыта в режим создавали давление на 5...6 кбар ниже заданного. После чего поднимали температуру до нужной и проводили корректировку давления [2].

Закалку делали путём выключения напряжения на нагревателе. При этом, температура падала за 1 с до 400...500 °C, а затем – до комнатной за 5...7 с [2].

Из полученных образцов изготавливали двустороннеполированный шлиф с ориентировкой преимущественно вдоль вертикальной оси образца. Анализ фазовых взаимоотношений проводили путем изучения шлифа на поляризационном петрографическом микроскопе ПОЛАМ Л-211 и Olympus BX51 с фотоприставкой. Анализ состава фаз проводили на электронном микронализаторе "Comebach-Micro" и на сканирующем электронном микроскопе MIRA 3 LMU с помощью спектрометра с энергетической дисперсией (система микронализации Inca Energy 450 XMax

80 (Oxford Instruments) [7]. Дополнительно диагностику фаз производили по КР-спектрам, полученным с помощью КР-спектрометра фирмы JobinYVON. Эталоны спектров фаз из базы данных Database of Raman spectroscopy, X-ray diffraction and chemistry of minerals (<http://www.rruff.info>).

**Результаты исследования.** Наиболее информативным для определения состава фаз оказалось исследование на сканирующем электронном микроскопе типа MIRA 3 LMU в связи с высокой локальностью анализа [12].

В продиагностированных образцах обнаружены клинопироксен, аортит, кварц, α-диопсид, стекло (расплав).

Эксперименты проведены в интервале температур 1200...1363 °C. Условия проведения и результаты экспериментов приведены в табл. 2 и на рис. 1. Данные по 20 кбар частично взяты из статьи «Устойчивость и фазовые взаимоотношения нестехиометрических клинопироксенов в сечении диопсид – «Самолекула Эскола» при высоких давлениях» [11].

Таблица 2 / Table 2

*Условия и результаты экспериментов в сечении Di-CaEs при 10...20 кбар /  
Conditions and results of experiments in the section Di-CaEs at 10...20 kbar*

Номер опыта / Experiment number	Номер состава / Composition number	Исходный состав / Initial composition	P, кбар / Pressure, kbar	T, °C / Temperature, °C	t, ч / Time, hours	Фазы / Phases
P-509	S-152	Di <sub>90</sub> CaEs <sub>10</sub>	10	1208	17,5	Cpx, α-Di, L
P-510	S-138	Di <sub>80</sub> CaEs <sub>20</sub>	10	1208	17,5	Cpx, α-Di, L
P-511	S-115	Di <sub>70</sub> CaEs <sub>30</sub>	10	1208	17,5	Cpx, α-Di, L
P-478	S-115	Di <sub>70</sub> CaEs <sub>30</sub>	10	1227	25	Cpx, α-Di, L
P-554	S-115-1	Di <sub>70</sub> CaEs <sub>30</sub>	10	1261	7,5	Cpx, α-Di, L
P-558	S-115-1	Di <sub>70</sub> CaEs <sub>30</sub>	10	1275	12	Cpx, α-Di, L
P-567	S-114-1	Di <sub>50</sub> CaEs <sub>50</sub>	10	1281	7	An, α-Di, L
P-568	S-203	Di <sub>40</sub> CaEs <sub>60</sub>	10	1281	7	An, α-Di, L
P-569	S-120-1	Di <sub>30</sub> CaEs <sub>70</sub>	10	1281	7	An, α-Di, L
P-562	S-115-1	Di <sub>70</sub> CaEs <sub>30</sub>	10	1293	7,5	Cpx, α-Di, L
P-561	S-114-1	Di <sub>50</sub> CaEs <sub>50</sub>	10	1293	7,5	An, α-Di, L
P-555	S-115-1	Di <sub>70</sub> CaEs <sub>30</sub>	10	1301	8,5	Cpx, α-Di, L
P-565	S-115-1	Di <sub>70</sub> CaEs <sub>30</sub>	10	1335	7	Cpx, α-Di, L
P-564	S-114-1	Di <sub>50</sub> CaEs <sub>50</sub>	10	1335	7	α-Di, L
P-487	S-115	Di <sub>70</sub> CaEs <sub>30</sub>	10	1363	4	α-Di, L
P-489	S-114	Di <sub>50</sub> CaEs <sub>50</sub>	10	1363	4	α-Di, L
P-488	S-120	Di <sub>30</sub> CaEs <sub>70</sub>	10	1363	4	An, α-Di, L

Окончание табл. 2

Номер опыта / Experiment number	Номер состава / Composition number	Исходный состав / Initial composition	P, кбар / Pressure, kbar	T, °C / Temperature, °C	t, ч / Time, hours	Фазы / Phases
P-523	S-152	Di <sub>30</sub> CaEs <sub>10</sub>	12	1208	19	Cpx, An
P-522	S-138	Di <sub>30</sub> CaEs <sub>20</sub>	12	1208	19	Cpx, An
P-521	S-115	Di <sub>70</sub> CaEs <sub>30</sub>	12	1208	19	Qtz, An, Cpx, α-Di
P-526	S-152	Di <sub>30</sub> CaEs <sub>10</sub>	13	1208	16	Cpx, An
P-525	S-138	Di <sub>30</sub> CaEs <sub>20</sub>	13	1208	16	Cpx, An
P-524	S-115	Di <sub>70</sub> CaEs <sub>30</sub>	13	1208	16	Qtz, An, Cpx, α-Di
P-536	S-152	Di <sub>30</sub> CaEs <sub>10</sub>	14	1208	12	Cpx, An
P-535	S-138	Di <sub>30</sub> CaEs <sub>20</sub>	14	1208	12	An, Cpx
P-534	S-115	Di <sub>70</sub> CaEs <sub>30</sub>	14	1208	12	Qtz, An, Cpx, α-Di
P-505	S-115	Di <sub>70</sub> CaEs <sub>30</sub>	15	1171	20	Qtz, An, Cpx, α-Di
P-504	S-138	Di <sub>30</sub> CaEs <sub>20</sub>	15	1171	20	Qtz, An, Cpx
P-503	S-152	Di <sub>30</sub> CaEs <sub>10</sub>	15	1171	20	Qtz, An, Cpx
P-499	S-115	Di <sub>70</sub> CaEs <sub>30</sub>	15	1222	12	An, Cpx
P-498	S-138	Di <sub>30</sub> CaEs <sub>20</sub>	15	1222	12	Cpx, An
P-497	S-152	Di <sub>30</sub> CaEs <sub>10</sub>	15	1222	12	Cpx
P-468	S-115	Di <sub>70</sub> CaEs <sub>30</sub>	20	1218	38	An, Qtz, Cpx
P-469	S-71	Di <sub>30</sub> CaEs <sub>20</sub>	20	1218	38	α-Di, An
P-470	S-114	Di <sub>50</sub> CaEs <sub>50</sub>	20	1218	38	Cpx, An, Qtz, α-Di
P-465	S-71	Di <sub>30</sub> CaEs <sub>20</sub>	20	1300	16,5	Cpx, α-Di, An, L
P-466	S-114	Di <sub>50</sub> CaEs <sub>50</sub>	20	1300	16,5	Cpx, α-Di, L
P-467	S-115	Di <sub>70</sub> CaEs <sub>30</sub>	20	1300	16,5	Cpx, α-Di, An, L
P-471	S-71	Di <sub>30</sub> CaEs <sub>20</sub>	20	1367	9,5	Cpx, α-Di, An, L
P-472	S-115	Di <sub>70</sub> CaEs <sub>30</sub>	20	1367	9,5	Cpx, α-Di, An, L
P-473	S-114	Di <sub>50</sub> CaEs <sub>50</sub>	20	1367	9,5	Cpx, α-Di, (An+Qtz), L
P-462	S-71	Di <sub>30</sub> CaEs <sub>20</sub>	20	1417	6,5	Cpx, α-Di, (An+Qtz), L
P-463	S-115	Di <sub>70</sub> CaEs <sub>30</sub>	20	1417	6,5	Cpx, α-Di, An, L
P-464	S-114	Di <sub>50</sub> CaEs <sub>50</sub>	20	1417	6,5	Cpx, α-Di, An, L
P-474	S-71	Di <sub>30</sub> CaEs <sub>20</sub>	20	1470	5,5	α-Di, (An+Qtz), L
P-475	S-114	Di <sub>50</sub> CaEs <sub>50</sub>	20	1470	5,5	Cpx, L
P-476	S-115	Di <sub>70</sub> CaEs <sub>30</sub>	20	1470	5,5	Cpx, L

Плавление при 10 кбар происходит в экспериментах со смесями с содержанием CaEs более 5 мол. % при температурах выше 1200 °С. С увеличением давления повышается и температура эвтектики составов. В солидусе обнаружены Cpx, An, αDi, Qtz. Кварц представлен как крупными одиночными кри-

сталлами, так и тесными срастаниями с анортитом и клинопироксеном. Фаза α-диопсид также образует тесные срастания с другими фазами.

Избранные анализы состава фаз, полученные на сканирующем электронном микроскопе, приведены в табл. 3.

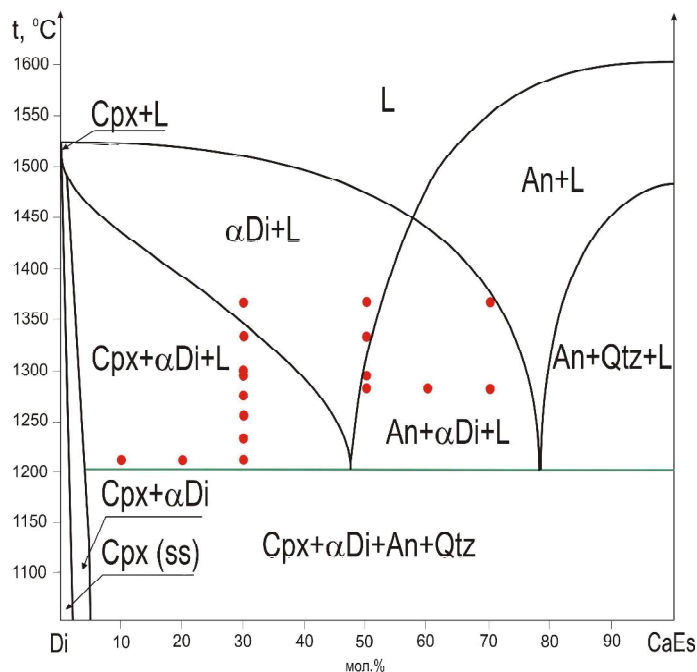


Рис. 1. Фазовая диаграмма сечения Di-CaEs при 10 кбар/  
Fig. 1. Phase diagram of the section Di-CaEs at 10 kbar

Таблица 3 / Table 3

Избранные составы фаз из экспериментов / Selected phase compositions from the experiments

Номер опыта / Experiment number	Фаза / Phase	Анализ фазы, масс. % / Phase analyses, mass. %					Пересчёт, мол. % / Recalculation, mol. %			
		CaO	MgO	Al <sub>2</sub> O <sub>3</sub>	SiO <sub>2</sub>	Сумма / Total	CaO	MgO	Al <sub>2</sub> O <sub>3</sub>	SiO <sub>2</sub>
P-488	α-Di	25,42	19,02	—	56,16	100,6	24,37	25,37	0	50,25
P-488	L	20,09	3,32	16,97	59,41	99,79	22,45	5,162	10,43	61,96
P-509	Cpx	22,64	17,3	7,33	51,94	99,21	22,82	24,26	4,063	48,86
P-558	L	18,34	3,02	17,19	60,63	99,18	20,7	4,743	10,67	63,88
P-558	Cpx	24,91	16,4	6,05	52,95	100,3	24,79	22,71	3,312	49,19
P-558	α-Di	25,51	18,87	0	56,16	100,5	24,49	25,2	0	50,31
P-569	α-Di	25,17	18,61	—	55,54	99,32	24,46	25,16	0	50,38
P-569	Cpx	23,72	17,26	2,08	57,04	100,1	23,23	23,52	1,12	52,13
P-562	L	18,16	4,53	16,72	60,48	99,89	20,15	6,995	10,21	62,65
P-562	Cpx	24,15	17,69	3,61	54,66	100,1	23,73	24,19	1,951	50,13
P-562	α-Di	25,49	18,81	—	56,09	100,4	24,51	25,16	0	50,33
P-521	Cpx	24,89	17,4	2,53	56,8	101,6	24,05	23,39	1,344	51,22
P-521	An	19,2	—	38,81	43,02	101	23,79	0	26,45	49,76
P-521	α-Di	25,8	18,79	0	57,04	101,6	24,53	24,86	0	50,61
P-499	Cpx	22,77	19,77	2,57	54,9	100	22,12	26,72	1,373	49,78
P-468	α-Di	25,03	18,9	0	55	98,93	24,38	25,62	0	50

Окончание табл. 3

Номер опыта / Experiment number	Фаза / Phase	Анализ фазы, масс. % / Phase analyses, mass. %					Пересчёт, мол. % / Recalculation, mol. %			
		CaO	MgO	Al <sub>2</sub> O <sub>3</sub>	SiO <sub>2</sub>	Сумма / Total	CaO	MgO	Al <sub>2</sub> O <sub>3</sub>	SiO <sub>2</sub>
P-468	Cpx	25,79	16,88	6,93	51,72	101,3	25,44	23,17	3,76	47,62
P-467	Cpx	24,54	17,37	5,91	52,16	99,98	24,38	24,01	3,23	48,37
P-467	α-Di	26,08	18,55	0,018	55,36	100	25,18	24,92	0,01	49,89
P-466	α-Di	24,98	19,44	0	55,64	100,06	24,03	26,02	0	49,95
P-466	Cpx	21,07	21,06	4,92	53,1	100,2	20,53	28,55	2,636	48,29
P-466	L	18,99	6,88	15,12	58,15	99,14	20,83	10,5	9,123	59,54
P-471	α-Di	24,92	19,42	0	55,02	99,36	24,13	26,16	0	49,71
P-471	Cpx	25,05	16,33	5,96	52,67	100	25	22,67	3,271	49,06
P-462	α-Di	24,36	19,97	0	55,84	100,17	23,36	26,65	0	49,99
P-462	Cpx	25,09	16,22	5,85	52,98	100,1	25,01	22,5	3,207	49,29
P-462	L	21,09	3,66	14,93	59,52	99,2	23,45	5,662	9,129	61,76
P-474	α-Di	24,67	18,97	0	55,09	98,73	24,07	25,76	0	50,17

Состав глинозёмистого клинопироксена на соответствует стехиометричным соотношениям. В составе фазы α-Di отмечено до 5 мол. % энстатитового компонента.

На основании полученных результатов построена фазовая диаграмма сечения Di – CaEs при 10 кбар (рис. 1). В солидусе сосуществуют фазы An, Cpx, α-Di, Qtz. Плавление происходит по эвтектической реакции An+Cpx+α-Di+Qtz=L при температурах выше 1200 °C в объёме составов четырёхкомпонентной системы CaO-MgO-Al<sub>2</sub>O<sub>3</sub>-SiO<sub>2</sub>. В диопсидовой части сечения выявлено поле твёрдых растворов глинозёмистых клинопироксенов, которое с увеличением CaEs-компонента сменяется фазовым объёмом Cpx+α-Di.

**Обсуждение результатов.** Полученные в нашей работе результаты по исследованию фазовых взаимоотношений диопсид – Са-молекула Эскола согласуются с данными предыдущих исследований при 20...30 кбар [11], а также при 1 кгс/см<sup>2</sup> [12]. Подтверждена устойчивость фазы α-диопсида.

По данным КР-спектрометра структура α-диопсида предположительно отвечает структуре чистого диопсида [23] (рис. 2). Однако наблюдается небольшое отклонение по составу α-диопсида от твёрдых растворов клинопироксенов диопсидового ряда, что свидетельствует о разрыве смесимости. На рис. 3 качественно показана точка

α-диопсида, лежащая непосредственно на линии En-Woll, с содержанием энстатитового компонента до 5 мол. %. Твёрдые растворы клинопироксенов характеризуются недостатком SiO<sub>2</sub> и смещением по составу в сторону форстеритового компонента. Таким образом, полученные данные совпадают с результатами И. Куширо [21].

Присутствие α-диопсида позволяет объяснить аномально низкие температуры плавления составов в данной области сечения и появление дополнительной эвтектики. Эвтектический тренд An+Cpx+α-Di+Qtz=L совпадает с полученным трендом при 20 кбар [11] (рис. 4).

При повышении давления наблюдается смена ассоциации глинозёмистых клинопироксенов с аортитом на ассоциации с гранатом, что хорошо согласуется с известными ранее данными [8; 20]. Устойчивость α-диопсида позволяет продолжить серию эвтектик до атмосферного давления. Установленный тренд эвтектических реакций с участием α-диопсида представляет собой один из возможных путей эволюции кварц-нормативных составов из глубин мантии к поверхности. Понижение температур плавления (почти на 200 °C) даёт химический механизм накопления больших объёмов алюмосиликатных расплавов, необходимый для формирования крупных интрузивов.

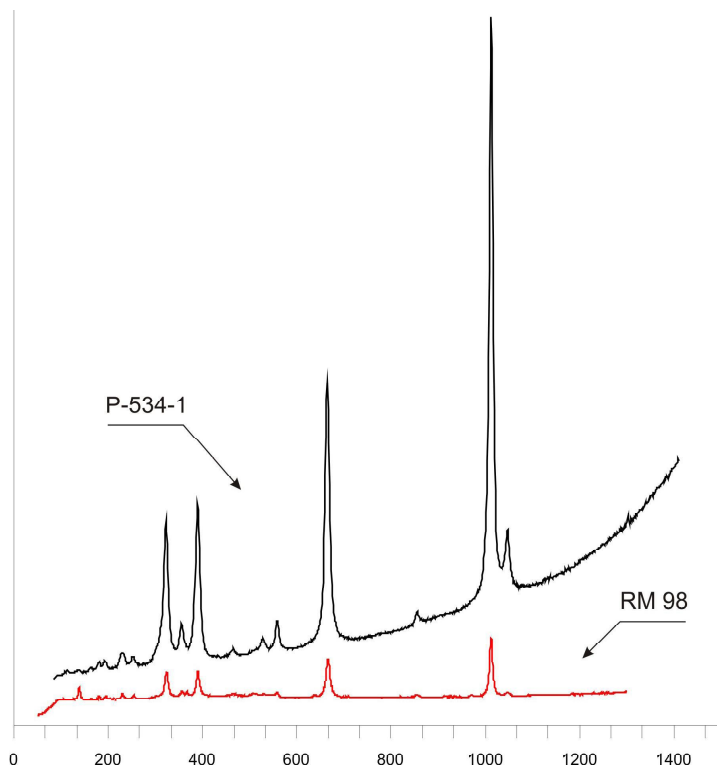


Рис. 2. KR-спектры фаз  $\alpha$ -Di (опыт P-534) и Di (эталон, данные из [24]) /  
Fig. 2. KR-spectra of phases  $\alpha$ -Di (experiment P-534) and Di (standard from [24] )

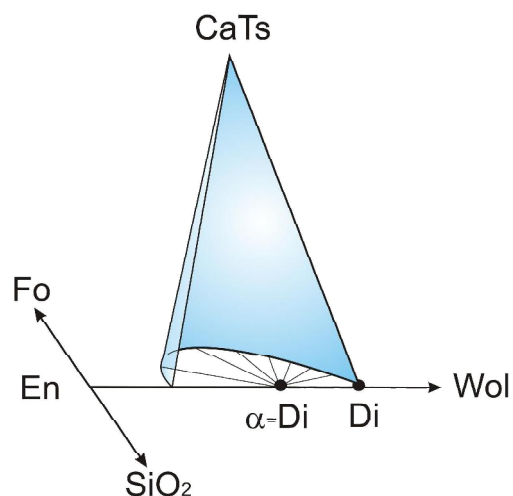


Рис. 3. Схема соотношения твёрдых растворов глинозёмистых клинопироксенов и  $\alpha$ -диопсида  
в плоскости составов энстатит-волластонит- $\text{SiO}_2$  / Fig. 3. Correlation scheme of aluminous clinopyroxene  
solid solutions and  $\alpha$ -diopside at the plane of enstatite-wollastonite-silica compositions

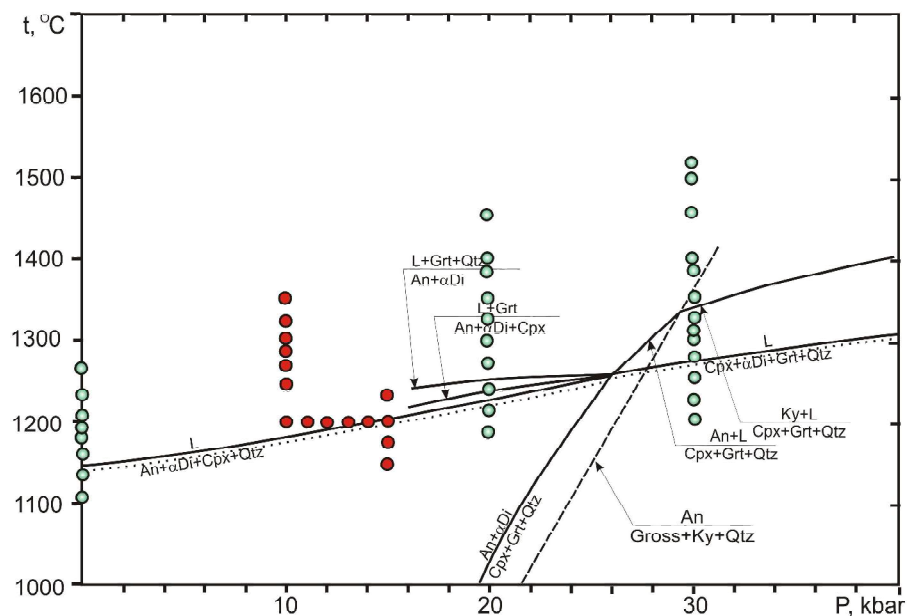


Рис. 4. Эвтектические реакции с участием  $\alpha$ -диопсида / Fig. 4. Eutectic reactions involving  $\alpha$ -diopside

**Выводы.** На основании полученных в нашей работе данных и результатов предыдущих экспериментальных исследований построена схема фазовой диаграммы сечения диопсид – Ca-молекула Эсcola в интервале давлений 1 кгс/см<sup>2</sup> – 20 кбар. В солидусе существуют  $\alpha$ -диопсид, анортит, кварц и глинозёмистый клинопироксен. Составы фаз соответствуют стехиометрии.

В сечении плавление происходит по эвтектической реакции  $An + Cpx + \alpha Di + Qtz = L$ , что коррелируется с результатами исследований

при 20 кбар и атмосферном давлении. В интервале давлений 10...20 кбар температура эвтектики возрастает от 1200 до 1250 °C.

Таким образом, проведённые исследования в сочетании с ранее полученными данными при давлениях 20...30 кбар и 1 кгс/см<sup>2</sup>, позволяют сделать однозначный вывод об отсутствии твёрдых растворов клинопироксенов, содержащих избыточный кремнезём, а также свидетельствуют об устойчивости фазы  $\alpha$ -диопсид.

#### Список литературы

- Брэгг У., Кларингбулл Г. Кристаллическая структура минералов. М.: Мир, 1967. Т. 1. 389 с.
- Годовиков А. А., Смирнов С. А., Малиновский И. Ю., Ран Э. Н., Паньков М. С., Росинский Г. А., Токмин Б. П. Аппарат для создания давления до 40 кбар при температурах до 1700 °C // Приборы и техника эксперимента. 1971. № 6. С. 159–160.
- Жариков В. А., Иванов И. П., Литвин Ю. А., Ишбулатов Р. А. Экспериментальные исследования плавления изверженных пород щёлочноземельной серии при давлении 35 кбар // Доклады Академии наук СССР. 1974. Т. 219, № 2. С. 443–446.
- Жариков В. А., Ишбулатов Р. А., Чудиновских Л. Т., Литвин Ю. А. Растворимость минала  $Ca_{0.5}AlSi_2O_6$  в клинопироксенах и проблема эклогитового барьера: тезисы докладов Всесоюзного симпозиума «Мантийные ксенолиты и проблема ультраосновных магм». Новосибирск, 1980. С. 88.
- Ишбулатов Р. А. Экспериментальные исследования плавления пород щёлочноземельной серии при давлениях 25–45 кбар // Очерки по физико-химической петрологии. М.: Наука, 1977. Вып. 6. С. 97–167.
- Ишбулатов Р. А., Чудиновских Л. Т., Малиновская Е. К. Экспериментальные исследования растворимости минала  $Ca_{0.5}AlSi_2O_6$  в клинопироксенах при давлениях от 14 до 70 кбар // XIII Конгресс Международной минералогической ассоциации MMA (IMA). Варна, 1986. С. 351–357.

7. Лаврентьев Ю. Г., Карманов Н. С., Усова Л. В. Электронно-зондовое определение состава минералов: микроанализатор или сканирующий электронный микроскоп? // Геология и геофизика. 2015. Т. 56, № 8. С. 1473–1482.
8. Малиновская Е. К., Дорошев А. М., Булатов В. К., Брай Г. Клинопироксены серии  $\text{CaMgSi}_2\text{O}_6$ - $\text{CaAl}_2\text{SiO}_6$ - $\text{Ca}_{0,5}\text{AlSi}_2\text{O}_6$  в ассоциации с аортитом, кварцем, коэситом и гранатом// Геохимия. 1991. № 2. С. 216–226.
9. Сурков Н. В., Дорошев А. М. Фазовая диаграмма системы  $\text{CaO}$ - $\text{Al}_2\text{O}_3$ - $\text{SiO}_2$  при давлениях до 40 кбар // Геология и геофизика. 1998. Т. 39, № 9. С. 1254–1268.
10. Сурков Н. В., Гартвич Ю. Г., Бабич Ю. В. Экспериментальное исследование фазовой диаграммы сечения  $\text{CaMgSi}_2\text{O}_6$ - $\text{CaAl}_{0,5}\text{Si}_2\text{O}_6$  при давлении 3,0 ГПа // Доклады академии наук. 2004. Т. 398, № 4. С. 533–537.
11. Сурков Н. В., Гартвич Ю. Г., Изох О. П. Устойчивость и фазовые взаимоотношения нестехиометрических клинопироксенов в сечении диопсид – «Са-молекула Эскола» при высоких давлениях // Геохимия. 2007. № 6. С. 632–642.
12. Сурков Н. В., Банушкина С. В., Гартвич Ю. Г. Особенности плавления ассоциаций с а-диопсидом в сечении  $\text{CaMgSi}_2\text{O}_6$ - $\text{Ca}_{0,5}\text{AlSi}_2\text{O}_6$  при атмосферном давлении // Вестник Забайкальского государственного университета. 2018. Т. 24, № 7. С. 51–59.
13. Ханухова Л. Т., Жариков В. А., Ишбулатов Р. А., Литвин Ю. А. Избыточный кремнезём в твёрдых растворах клинопироксенов высокого давления по данным экспериментального изучения системы  $\text{CaMgSi}_2\text{O}_6$ - $\text{CaAl}_2\text{SiO}_6$ - $\text{SiO}_2$  при 35 кбар и 1200 °C // Доклады академии наук СССР. 1976. Т. 229, № 1. С. 182–184.
14. Ханухова Л. Т., Жариков В. А., Ишбулатов Р. А., Литвин Ю. А. Поверхность насыщения клинопироксенов кремнезёром в системе  $\text{CaMgSi}_2\text{O}_6$ - $\text{NaAlSi}_2\text{O}_6$ - $\text{CaAl}_2\text{SiO}_6$ - $\text{SiO}_2$  при 35 кбар и 1200 °C // Доклады академии наук СССР. 1977. № 234. С. 168–171.
15. Ханухова Л. Т. Экспериментальное исследование системы  $\text{CaMgSi}_2\text{O}_6$ - $\text{NaAlSi}_2\text{O}_6$ - $\text{CaAl}_2\text{SiO}_6$ - $\text{SiO}_2$  при 35 кбар и 1200 °C // Очерки физико-химической петрологии. М.: Наука, 1978. С. 155–178.
16. Boyd F. R., England J. L. Apparatus for phase-equilibrium measurements at pressures up to 50 kilobars and temperatures up to 1750 °C // Journal of Geophysical Research. 1960. Vol. 65. No. 2. P. 741–748.
17. Eskola P. On the eclogites of Norway // Skrifter utgit av Videnskapsselskapet i Kristiania. I, Matematisk-naturvidenskabelig klasse. 1921. No. 8. P. 163–170.
18. Gasparik T. Experimental study of subsolidus phase relations and mixing properties of clinopyroxene in the silica-saturated system  $\text{CaO}$ - $\text{MgO}$ - $\text{Al}_2\text{O}_3$ - $\text{SiO}_2$  // American Mineralogist. 1986. Vol. 71. No. 5-6. P. 686–693.
19. Gasparik T. Transformation of enstatite – diopside – jadeite pyroxenes to garnet // Contributions to Mineralogy and Petrology. 1989. Vol. 102. No. 4. P. 389–405.
20. Knapp N., Woodland A.B., Klimm K. Experimental constraints in the CMAS system on the Ca-Eskola content of eclogitic clinopyroxene // European Journal of Minerals. 2013. No. 25. P. 579–596.
21. Kushiro I. Clinopyroxene solid solutions formed by reactions between diopside and plagioclase at high pressures // Mineralogy Society of America. Special. 1969. No. 2. P. 179–191.
22. Mirvald P. W., Gettingl. C., Kennedy G. C. Low-friction cell for piston-cylinder high-pressure apparatus // Journal of Geophysical Research. 1975. Vol. 86. No. 11. P. 1519–1525.
23. Richet P., Mysen B., Ingrin J. High-temperature X-ray diffraction and Raman spectroscopy of diopside and pseudowollastonite // Physics and Chemistry of Minerals. 1998. No. 25. P. 401–414.
24. Surkov N. V., Darmenko O. L. Experimental investigation of clinopyroxene stability in the section Di-CaTs-CaEs at pressure 30 kbar // Experiment in Geoscience. 2001. Vol. 10. No. 1. P. 33–34.

## References

---

1. Bragg W., Claringbull G. *Kristallicheskaya struktura mineralov* (The crystal structure of minerals). Moscow: Mir, 1967. Vol. 1. 390 p.
2. Godovikov A. A., Smirnov S. A., Malinovsky I. Yu., Ran E. N., Rosinsky G. A., Tokmin B. P. *Pribory i tekhnika experimenta* (Instruments and experimental techniques), 1971, no. 6, pp.159–160.
3. Zharikov V. A., Ivanov I. P., Litvin Yu. A., Ishbulatov R. A. *Doklady AN SSSR* (Reports of the Academy of Sciences), 1974, vol. 219, no. 2, pp. 443–446.
4. Zharikov V. A., Ishbulatov R. A., Chudinovskih L. T., Litvin Yu. A. *Mantiynye ksenolity i problema ult. magm: Tez. dokl.* (Mantle Xenoliths and the Ult. Magm” thesis of the reports of the All-Union Symposium), Novosibirsk. 1980, p. 88.
5. Ishbulatov R. A. *Ocherki po fiziko-himicheskoy petrologii* (Essays on physics-chemical petrology). Moscow: Nauka, 1977, vol. 6, pp. 97–167.

6. Ishbulatov R. A., Chudinovskih L. T., Malinovskaya E. K. *XIII Kongress Mezhdunarodnoy Mineralogicheskoy Assotsiatsii MMA (IMA)* (XIII Cong. Int. Min. Ass. MMA (IMA)). Varna, 1986, pp. 351–357.
7. Lavrentiev Ju. G., Karmanov N. S., Usova L. V. *Geologiya i geofizika* (Geology and geophysics), 2015, vol. 56, no. 8, pp. 1473–1482.
8. Malinovskaya E. K., Doroshev A. M., Bulativ V. K., Bray G. *Geochemistry* (Geology and geophysics), 1991, no. 2, pp. 210–226.
9. Surkov N. V., Doroshev A. M. *Geologiya i geofizika* (Geology and Geophysics), 1998, vol. 39, no. 9, pp. 1254–1268.
10. Surkov N. V., Gartvich Yu. G., Babich Yu. V. *Doklady akademii nauk* (Reports of the Academy of Sciences), 2004, vol. 398, no. 4, pp. 533–537.
11. Surkov N. V., Gartvich Yu. G., Izokh O. P. *Geochemistry*, 2007, no. 6, pp. 632–642.
12. Surkov N. V., Banushkina S. V., Gartvich Yu. G. *Vestnik ZabGU* (Transbaikal State University Journal), 2018, vol. 24, no. 7, pp. 51–59.
13. Khanuhova L. T., Zharikov V. A., Ishbulatov R. A., Litvin Yu. A. *Doklady akademii nauk SSSR* (Reports of the Academy of Sciences), 1976, vol. 229, no. 1, pp. 182–184.
14. Khanuhova L. T., Zharikov V. A., Ishbulatov R. A., Litvin Yu. A. *Dokl. Akad. Nauk SSSR* (Reports of the Academy of Sciences), 1977, no. 234, pp. 168–171.
15. Khanuhova L. T. *Ocherki po fiziko-himicheskoy petrologii* (Essays on physics-chemical petrology), Moscow: Nauka, 1978, pp. 155–178.
16. Boyd F. R., England J. L. *Journal of Geophysical Research* (Journal of Geophysical Research), 1960, vol. 65, no. 2, pp. 741–748.
17. Eskola P. *Skrifter utgit av Videnskapsselskapet i Kristiania. I, Matematisk-naturvidenskabelig klasse*. (Skrifter utgit av Videnskapsselskapet i Kristiania. I, Matematisk-naturvidenskabelig klasse), 1921, vol. 8, pp. 163–170.
18. Gasparik T. *American Mineralogist* (American Mineralogist), 1986, vol. 71, no. 5–6, pp. 686–693.
19. Gasparik T. *Contributions to Mineralogy and Petrology* (Contributions to Mineralogy and Petrology), 1989, vol. 102, no. 4, pp. 389–405.
20. Knapp N., Woodland A. B., Klimm K. *European Journal of Minerals* (European Journal of Minerals), 2013, no. 25, pp. 579–596.
21. Kushiro I. *Mineralogy Society of America. Special* (Mineralogy Society of America. Special), 1969, no. 2, pp. 179–191.
22. Mirvald P. W., Getting I. C., Kennedy G. C. *Journal of Geophysical Research* (Journal of Geophysical Research), 1975, vol. 86, no. 11, pp. 1519–1525.
23. Richet P., Mysen B., Ingrin J. *Physics and Chemistry of Minerals* (Physics and Chemistry of Minerals), 1998, no. 25, pp. 401–414.
24. Surkov N. V., Darmenko O. L. *Experiment in Geoscience* (Experiment in Geoscience), 2001, vol. 10, no. 1, pp. 33–34.

#### Коротко об авторах

**Банушкина Софья Викторовна**, мл. научный сотрудник, Институт геологии и минералогии им. В.С. Соболева СО РАН, г. Новосибирск, Россия. Область научных интересов: петрология, магматизм, экспериментальные исследования при высоких давлениях, физико-химический анализ  
banushkinasv@igm.nsc.ru

**Сурков Никита Викторович**, канд. геол.-минер. наук, доцент, ст. науч. сотрудник, Институт геологии и минералогии им. В.С. Соболева СО РАН, г. Новосибирск, Россия. Область научных интересов: петрология, магматизм, экспериментальные исследования при высоких давлениях, физико-химический анализ  
diagrams@igm.nsc.ru

**Голицына Зоя Фридриховна**, аспирант, инженер-исследователь, Институт геологии и минералогии им. В.С. Соболева СО РАН, г. Новосибирск, Россия. Область научных интересов: петрология, минералогия, кристаллография, экспериментальные исследования при высоких давлениях, физико-химический анализ  
zoe.zhurko@gmail.com

**Briefly about the authors**

*Sofya Banushkina*, research assistant, Sobolev Institute of Geology and Mineralogy, Siberian Branch of the Russian Academy of Sciences, Novosibirsk, Russia. Sphere of scientific interests: petrology, magmatism, experimental investigations at high pressures, physics-chemical analysis

*Nikita Surkov*, candidate of geological and mineralogical sciences, associate professor, senior researcher, Sobolev Institute of Geology and Mineralogy, Siberian Branch of the Russian Academy of Sciences, Novosibirsk, Russia. Sphere of scientific interests: petrology, magmatism, experimental investigations at high pressures, physics-chemical analysis

*Zoe Golitsyna*, postgraduate, research engineer, Sobolev Institute of Geology and Mineralogy, Siberian Branch of the Russian Academy of Sciences, Novosibirsk, Russia. Sphere of scientific interests: petrology, mineralogy, crystallography, experimental investigations at high pressures, physics-chemical analysis

---

Работа выполнена по государственному заданию ИГМ СО РАН при финансовой поддержке  
Министерства науки и высшего образования Российской Федерации

---

**Образец цитирования**

*Банушкина С. В., Сурков Н. В., Голицына З. Ф. Особенности плавления фаз в сечении диопсид-кальциевая молекула Эскола в интервале давлений 1 кгс/см<sup>2</sup> – 20 кбар // Вестник Забайкальского государственного университета. 2019. Т. 25. № 7. С. 6–17. DOI: 10.21209/2227-9245-2019-25-7-6-17.*

*Banushkina S., Surkov N., Golitsyna Z. Melting features of phases in the diopside-Calcium molecule of Escola section in the pressure range 1 kgs/sm<sup>2</sup> – 20 kbar // Transbaikal State University Journal, 2019, vol. 25, no.7, pp. 6–17. DOI: 10.21209/2227-9245-2019-25-7-6-17.*

Статья поступила в редакцию: 21.01.2019 г.  
Статья принята к публикации: 03.09.2019 г.